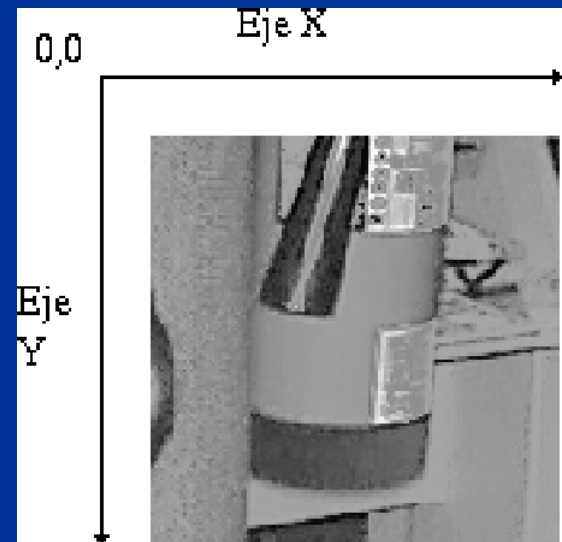


Visión de Alto Nivel

Dr. Luis Enrique Sucar

INAOE

esucar@inaoep.mx
ccc.inaoep.mx/~esucar



Sesión 2
Bajo Nivel

Visión de Bajo Nivel

Extracción de Características



orillas

color

textura

Orillas

- Las variaciones de intensidad, *orillas* o *bordes* son muy importantes en visión.
- Muchas veces podemos reconocer un objeto sólo en base a su *silueta*
- Las orillas son una de las características más importantes y útiles para etapas posterior de visión como la segmentación y el reconocimiento de objetos.

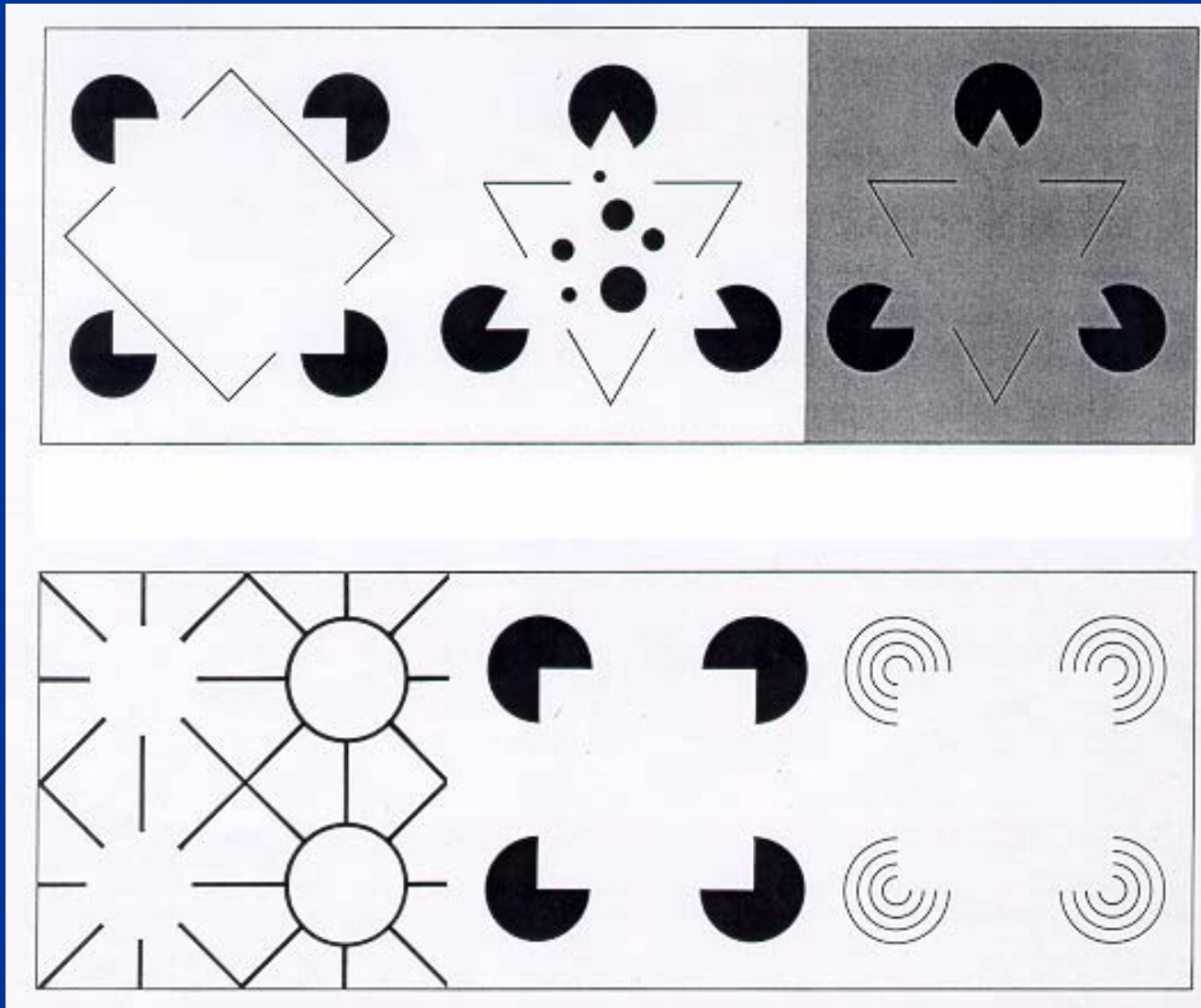
Ejemplo de reconocimiento en base sólo a orillas o silueta



Contornos “subjetivos”

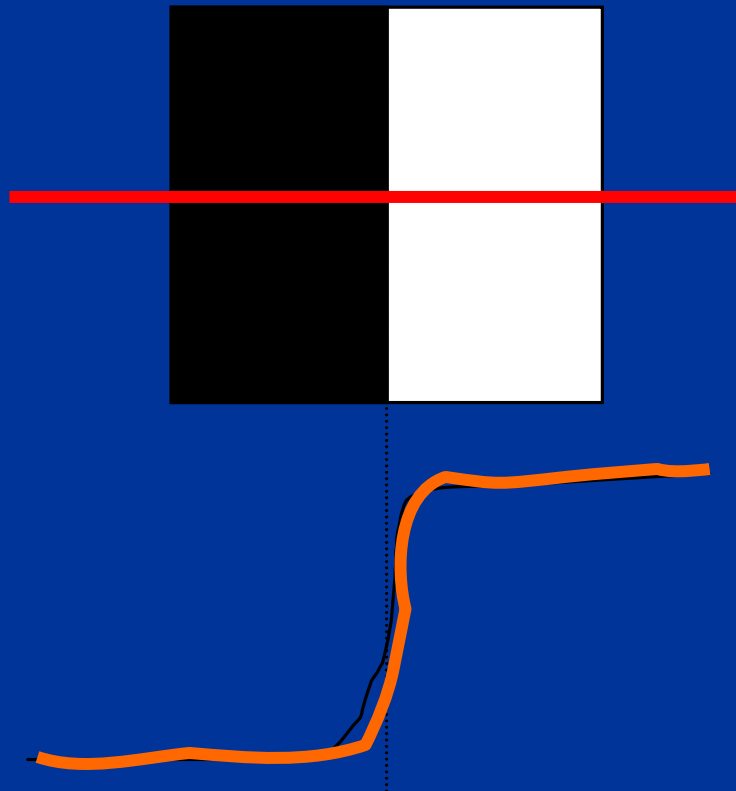
- De estudios en animales, se sabe que los sistemas de visión biológicos tienen “celdas” especializadas para detectar orillas
- Un ejemplo de esto, es que “vemos” contornos aún donde no los hay, completando bordes ocluidos o implícitos, como en los contornos subjetivos

Contornos subjetivos de Kanizsa



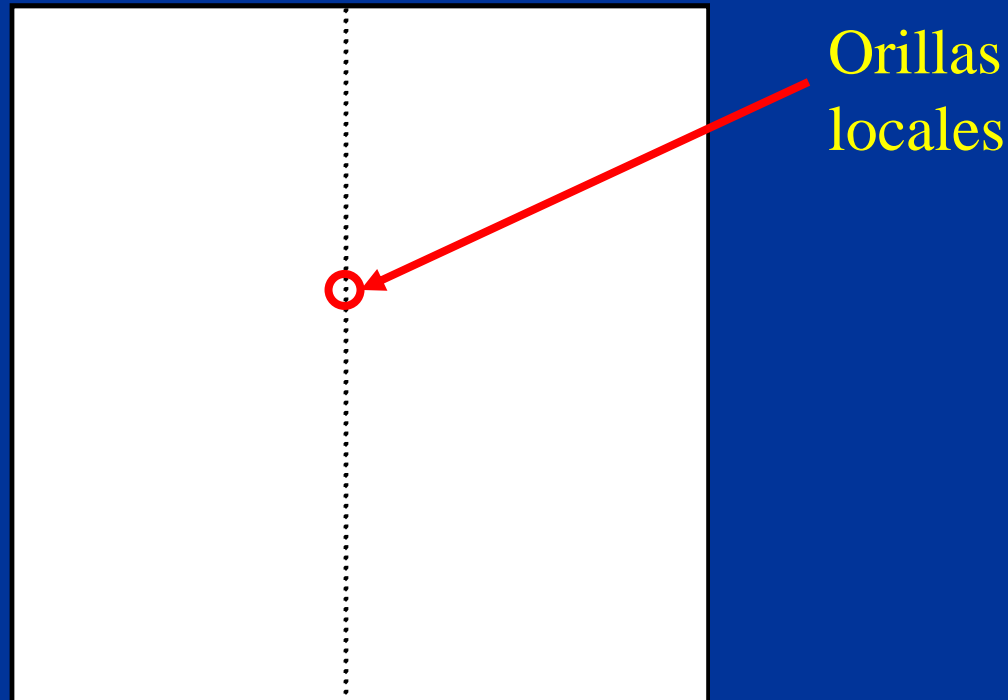
¿Qué es una orilla?

- Parte de la imagen en que hay un cambio *brusco* o discontinuidad en la intensidad de la imagen- derivada "alta"



Orillas locales

- Las orillas de una imagen normalmente se detectan como pequeños segmentos o secciones de un borde que se integran en etapas posteriores



Técnicas

- Técnicas de detección de orillas:
 - operadores de gradiente (primera derivada),
 - operadores de segunda derivada,
 - múltiples respuestas a diferentes orientaciones.
- Técnicas de post-procesamiento:
 - operador Canny
 - relajación.

Operadores de gradiente

- Se basan en diferenciar la imagen, es decir, encontrar el gradiente:

$$\Delta f = (df/dx, df/dy)$$

- Magnitud del gradiente:

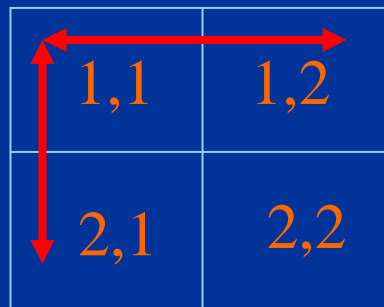
$$|\Delta f| = [(df/dx)^2 + (df/dy)^2]^{1/2}$$

Aproximación al gradiente

- Se puede aproximar el gradiente tomando la diferencia de valores contiguos en la imagen.
- Para una sección de 2 x 2:

$$df/dx = I_{1,2} - I_{1,1}$$

$$df/dy = I_{2,1} - I_{1,1}$$

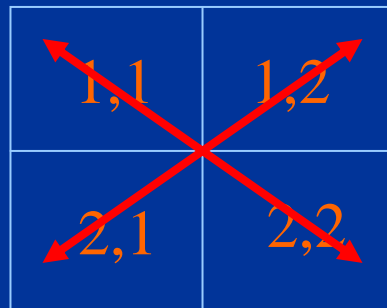


Aproximación al gradiente

- Otra opción es considerar las diferencias cruzadas:

$$df/dx = I_{1,1} - I_{2,2}$$

$$df/dy = I_{1,2} - I_{2,1}$$



Aproximación al gradiente

- Podemos también considerar una sección de 3 x 3 y aproximar el gradiente de la siguiente forma:

$$df/dx = (l_{1,3} + l_{2,3} + l_{3,3}) - (l_{1,1} + l_{2,1} + l_{3,1})$$

$$df/dy = (l_{3,1} + l_{3,2} + l_{3,3}) - (l_{1,1} + l_{1,2} + l_{1,3})$$

1,1	1,2	1,3
2,1	2,2	2,3
3,1	3,2	3,3

A 3x3 grid with red arrows pointing horizontally and vertically from the center cell (2,2). The horizontal arrow points from (2,2) to (2,1) and (2,3). The vertical arrow points from (2,2) to (1,2) and (3,2).

Las aproximaciones anteriores se pueden implementar como filtros espaciales (máscaras)



Operadores como el de Roberts, Prewitt y Sobel, se implementan con dos máscaras: una para dx y otra para dy

Operadores de Roberts

Corresponden a las diferencias cruzadas de 2 x 2

1	0
0	-1

0	1
-1	0

Operadores de Prewitt

Corresponden a las diferencias en secciones de 3 x 3

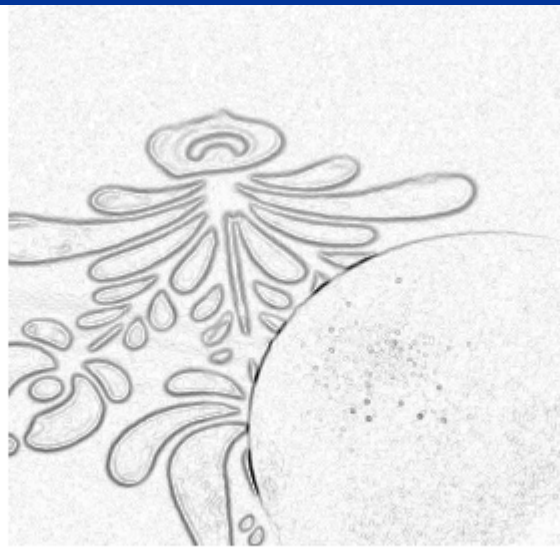
-1	-1	-1
0	0	0
1	1	1

-1	0	1
-1	0	1
-1	0	1

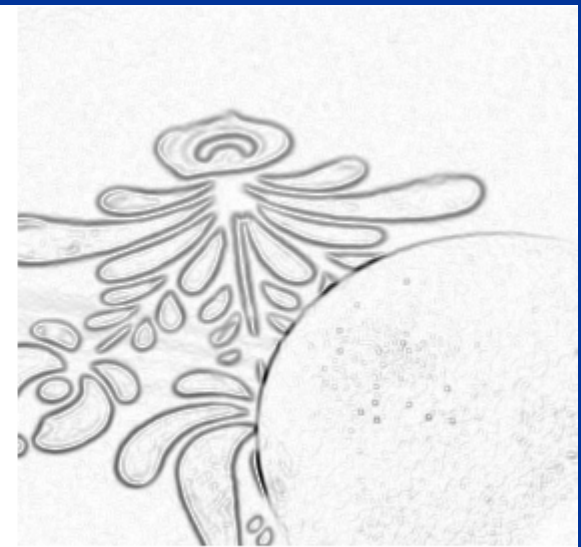
Ejemplos con los operadores de Roberts y Prewitt



(a)



(b)



(c)

Operadores de Sobel

- Los detectores de orillas como *Roberts* y *Prewitt* tienden a amplificar el ruido en la imagen
- Los operadores de *Sobel* reducen este efecto, al combinar en la misma máscara, la diferenciación con suavizamiento.

Operadores de Sobel

- El detector de Sobel se puede ver como la combinación de un filtro de suavizamiento con un operador de gradiente:

$$\mathit{Sobel} = D G^T$$

- Donde:

$$D = \begin{bmatrix} -1 & 0 & 1 \end{bmatrix}$$

$$G = \begin{bmatrix} 1 & 2 & 1 \end{bmatrix}$$

Operadores de Sobel

-1	-2	-1
0	0	0
1	2	1

-1	0	1
-2	0	2
-1	0	1

Ejemplos con operadores de Sobel



(a)



(b)



(c)

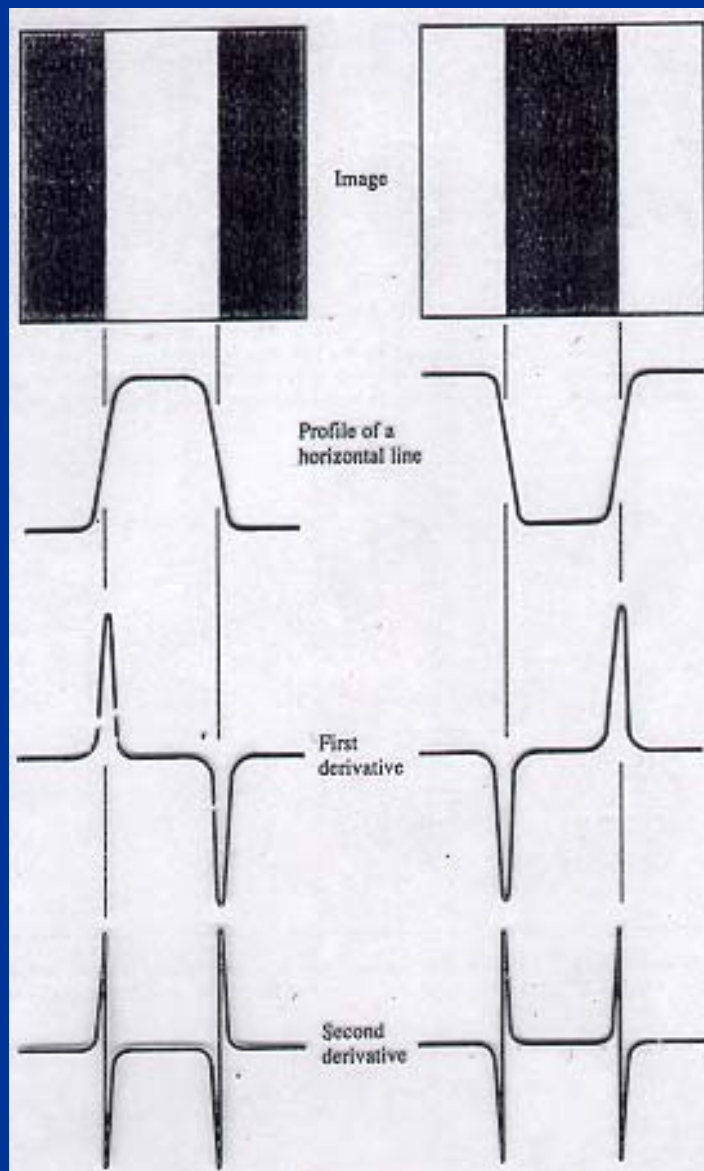


(d)

Operadores de segunda derivada

- Una ventaja de usar operadores de segunda derivada es que se puede estimar mejor la localización de la orilla - donde la segunda derivada cruza cero
- Ejemplos de estos detectores de orillas son:
 - Laplaciano
 - Laplaciano de una gaussiana (LOG)

Cruces por cero



Laplaciano

- Laplaciano de una función de 2 variables:

$$\Delta^2 f = (d^2 f / dx^2, d^2 f / dy^2)$$

- El cual se puede aproximar en forma discreta como:

$$\Delta^2 f = 4 * (f_{2,2} - f_{1,2} - f_{2,1} - f_{2,3} - f_{3,2})$$

Máscara para el operador Laplaciano

0	-1	0
-1	4	-1
0	-1	0

Laplaciano de una Gaussiana

- En forma análoga al operador de Sobel, combina el efecto de un suavizado gaussiano con el Laplaciano en una sola máscara.

- El Laplaciano de una Gaussiana (LOG) es:

$$\Delta^2 G = (d^2G/dx^2, d^2G/dy^2)$$

- El cual también se puede aproximar con una máscara.

Máscara para el operador Laplaciano de una Gaussiana

1	-2	1
-2	4	-2
1	-2	1

Ejemplos con operador LOG

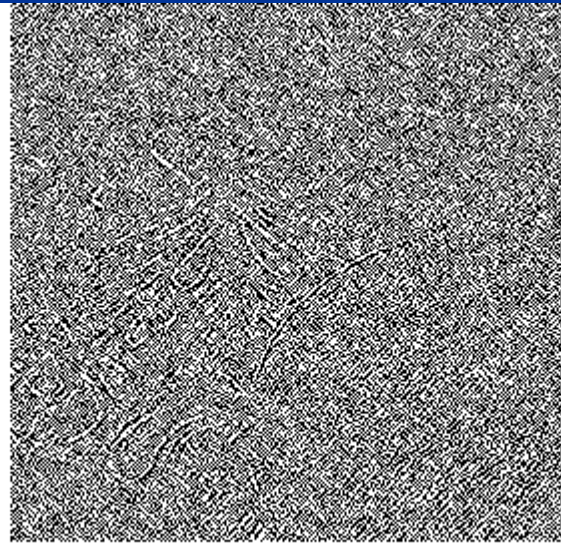
Original

LOG (3x3)

Supresión dobles



(a)



(b)



(c)

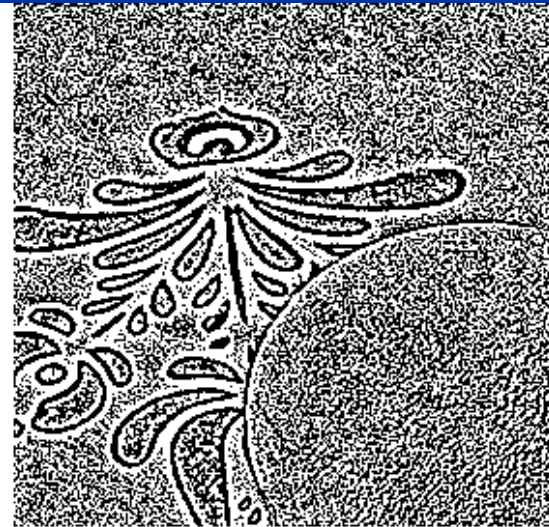
Otros ejemplos con operador LOG:

implementación como diferencia de 2 gaussianas

original



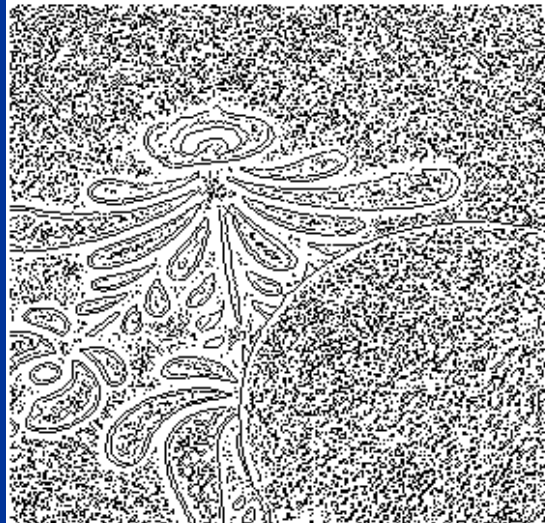
(a)



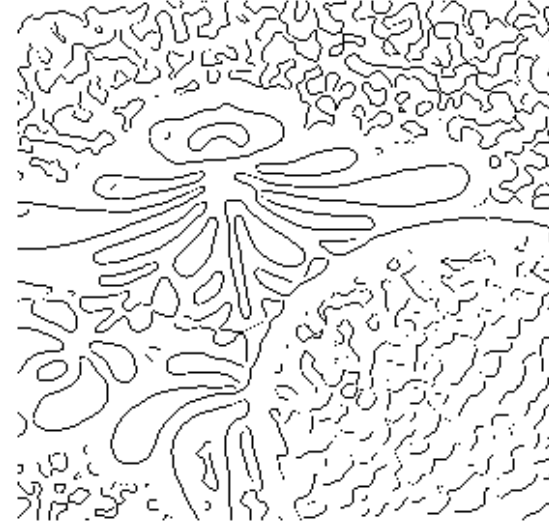
(b)

0.5, 0.8

supresión
dobles



(c)



(d)

2.5, 4.0 y
supresión

Operadores direccionales

- En general es útil conocer no sólo la magnitud de las orillas sino también su dirección:

$$\phi_f = \tan^{-1} \frac{df/dy}{df/dx}$$

- Esto se puede obtener con los operadores de de Prewitt y Sobel, así como con otros operadores direccionales más sofisticados

Operadores de Kirsch

- Detectan la máxima respuesta en direcciones espaciadas 45° , es decir en orientaciones de 0, 45, 90 y 135 grados - 4 máscaras
- Se pueden definir a diferentes tamaños: 2x2, 3x3, 5x5

Máscaras para operadores de Kirsch de 3x3

-1	-1	-1
0	0	0
1	1	1

-1	0	1
-1	0	1
-1	0	1

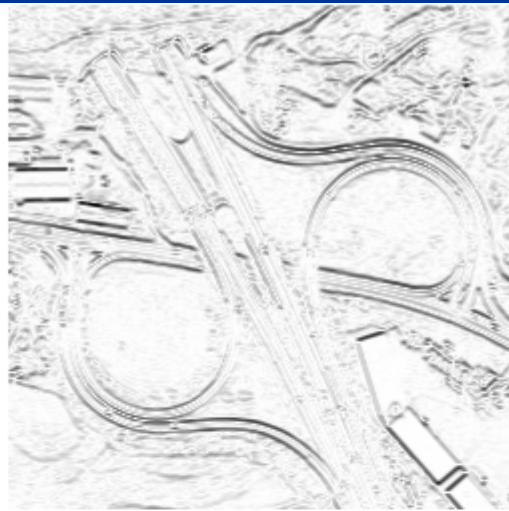
-1	-1	0
-1	0	1
0	1	1

0	1	1
-1	0	1
-1	-1	0

Ejemplo de aplicación de operadores de Kirsch



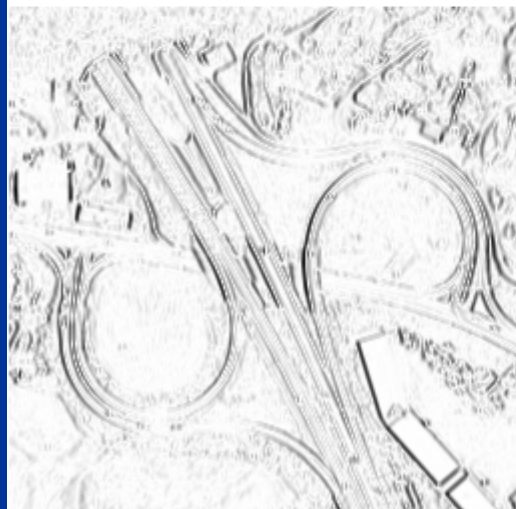
(a)



(b)



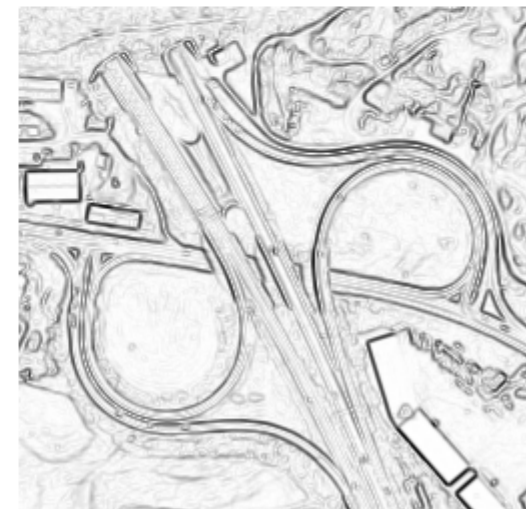
(c)



(d)



(e)



(f)

Color

- El color es importante porque:
 - ayuda a la extracción de características,
 - apoya los niveles superiores como segmentación y reconocimiento.
- El ojo humano distingue miles de colores y en cambio sólo aprox. 20 niveles de gris - el color es importante en el reconocimiento visual.

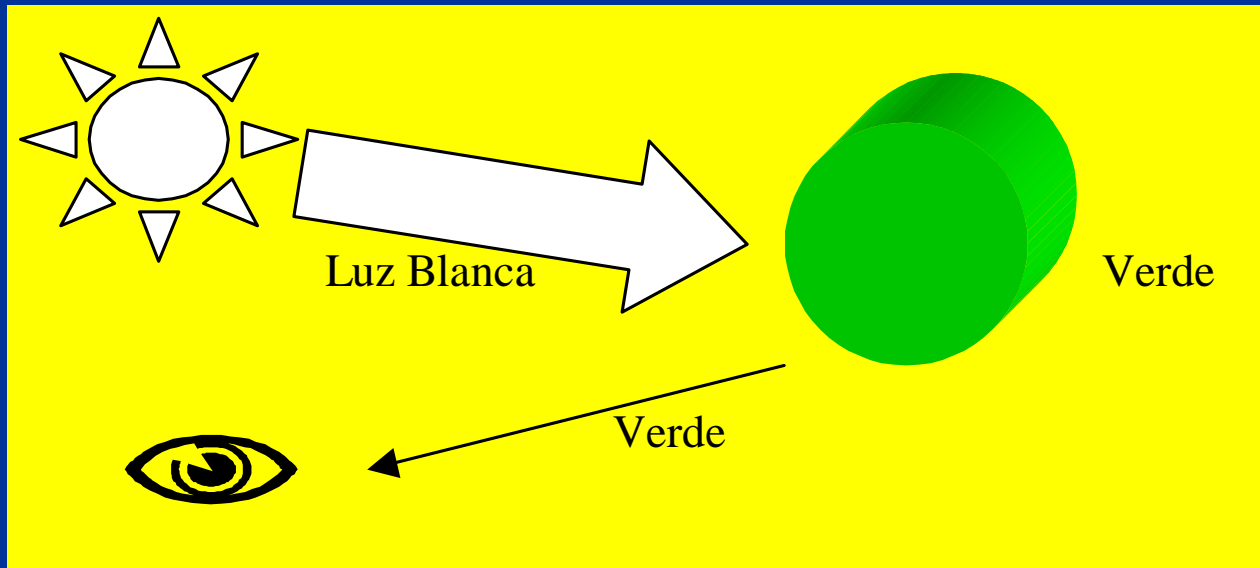
Espectro

- El color tiene que ver con la longitud de onda dentro de la luz visible del espectro electromagnético

color:		violeta	azul	verde	amarillo	naranja	rojo	
longitud de onda (nm)		400					700	

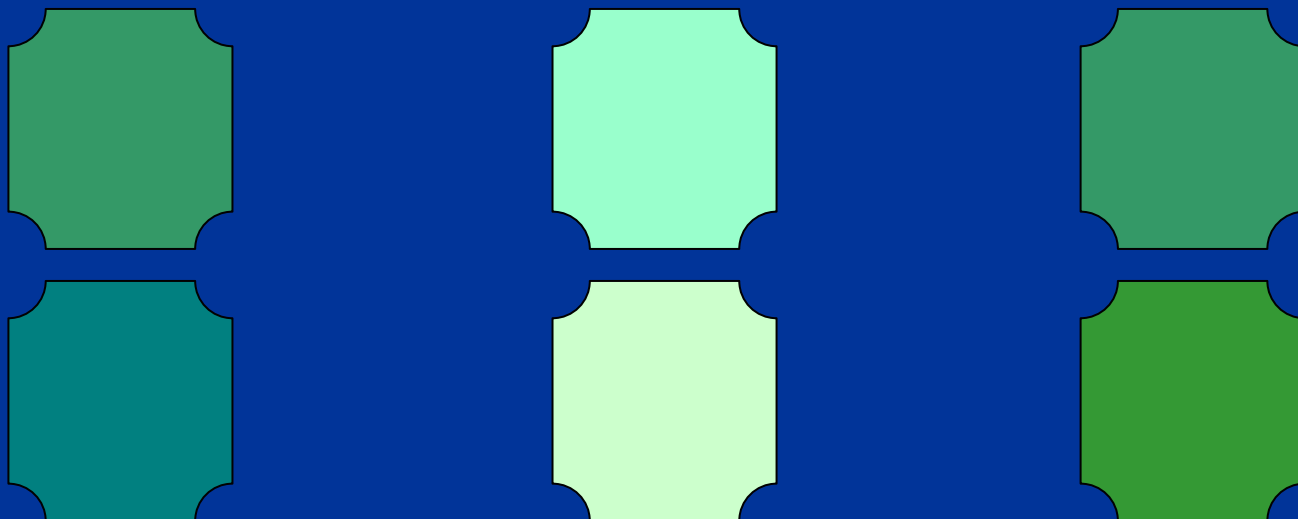
Percepción del Color

- Un objeto se ve de cierto color si refleja las longitudes de onda de dicho color (por ejemplo, verde: 500-570 nm) y absorbe el resto, al ser iluminado por luz “blanca”



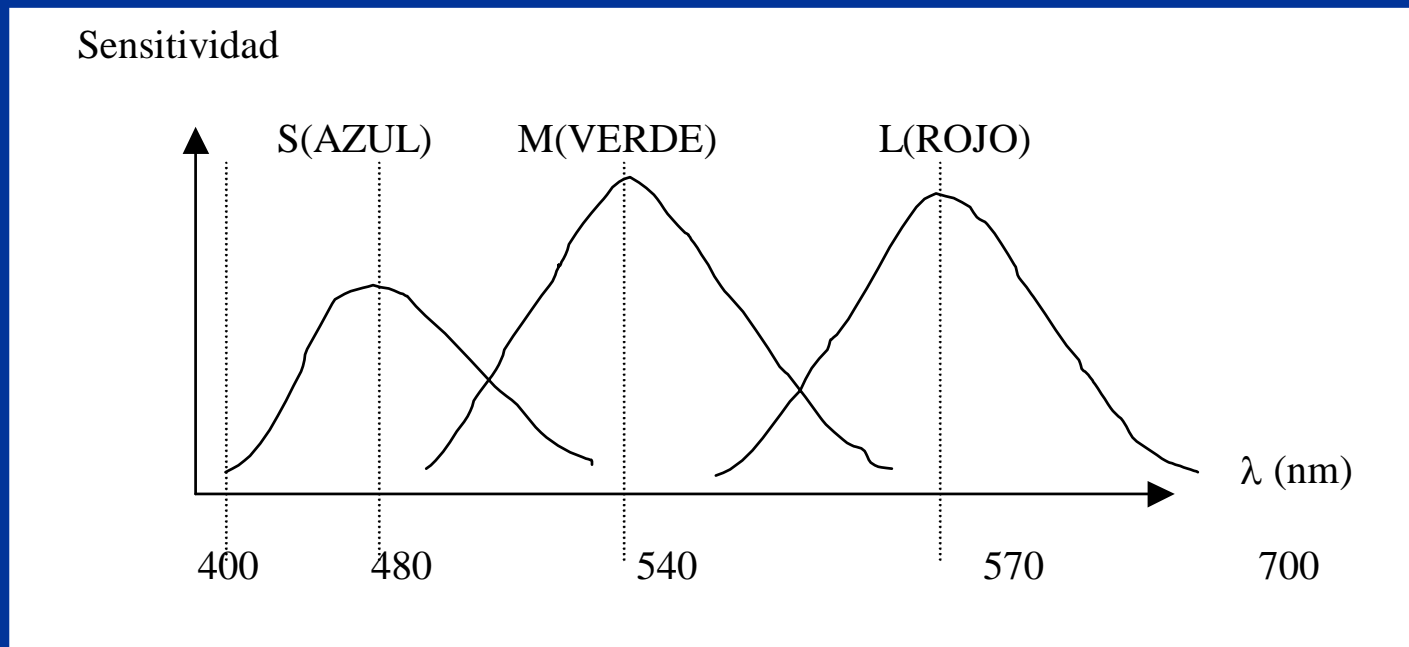
Atributos básicos del color

- Cromo o longitud de onda dominante (Hue)
- Pureza o saturación
- Brillantez o intensidad



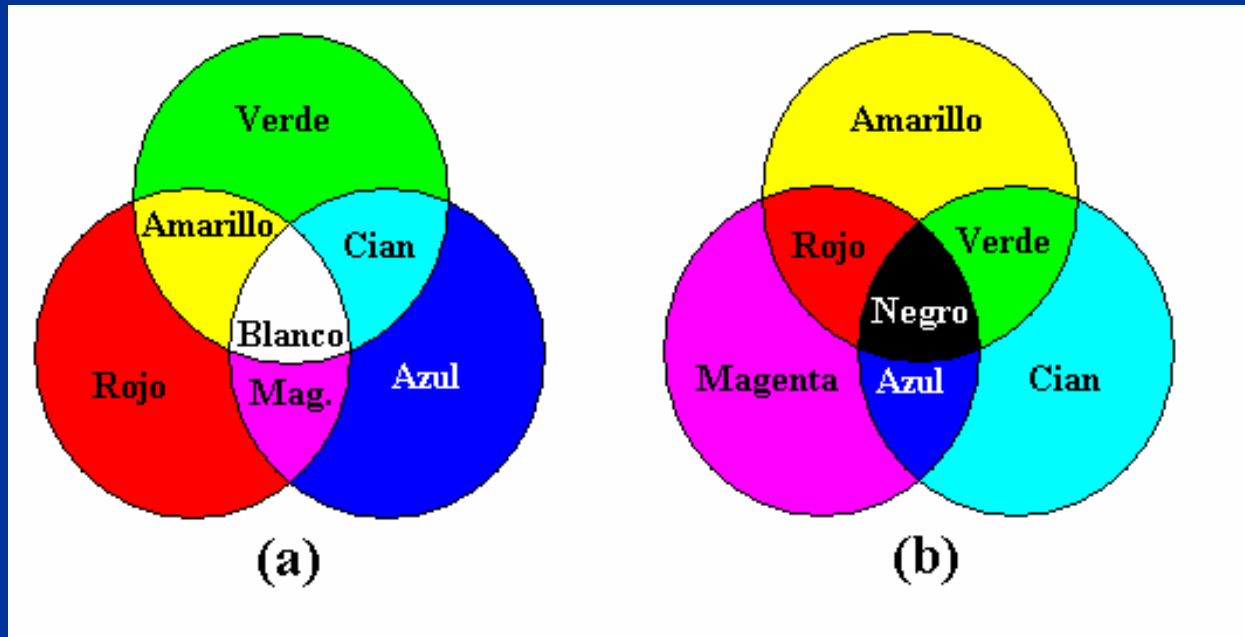
Percepción humana del color

- Percibimos el color mediante sensores (conos) que son de diferentes tipos - mayor sensibilidad a diferentes longitudes de onda: α (azul), β (verde), γ (rojo)

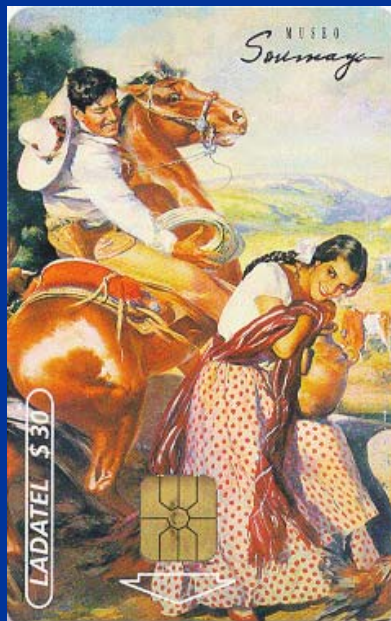


Combinación de colores

- La identificación del color se hace mediante la combinación de los 3 tipos de sensores - combinación de colores "primarios" (RGB)
- Combinación aditiva - luz (a) y substractiva - pigmentos (b)



Componentes de una imagen a color



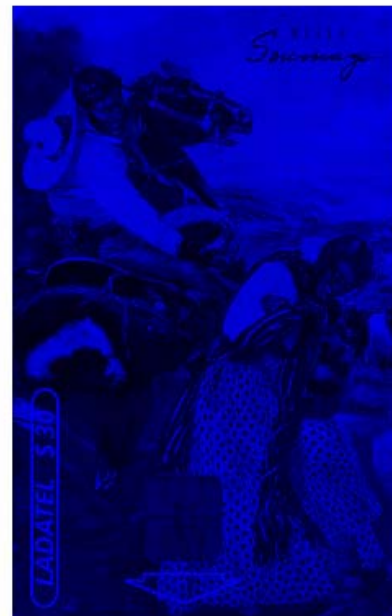
(a)



(b)



(c)



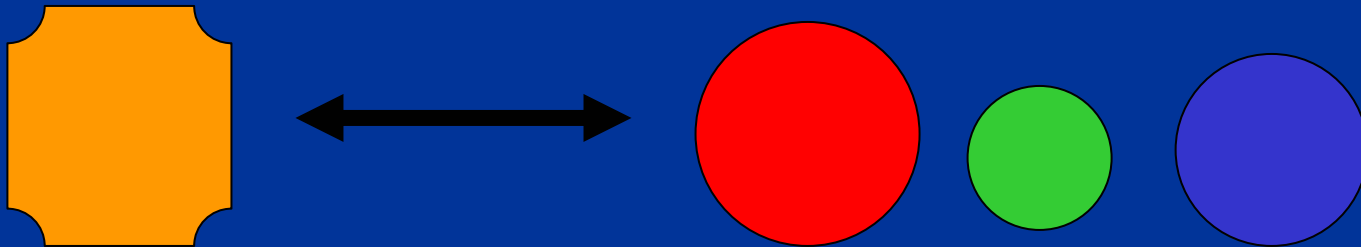
(d)



(e)

Sistema CIE

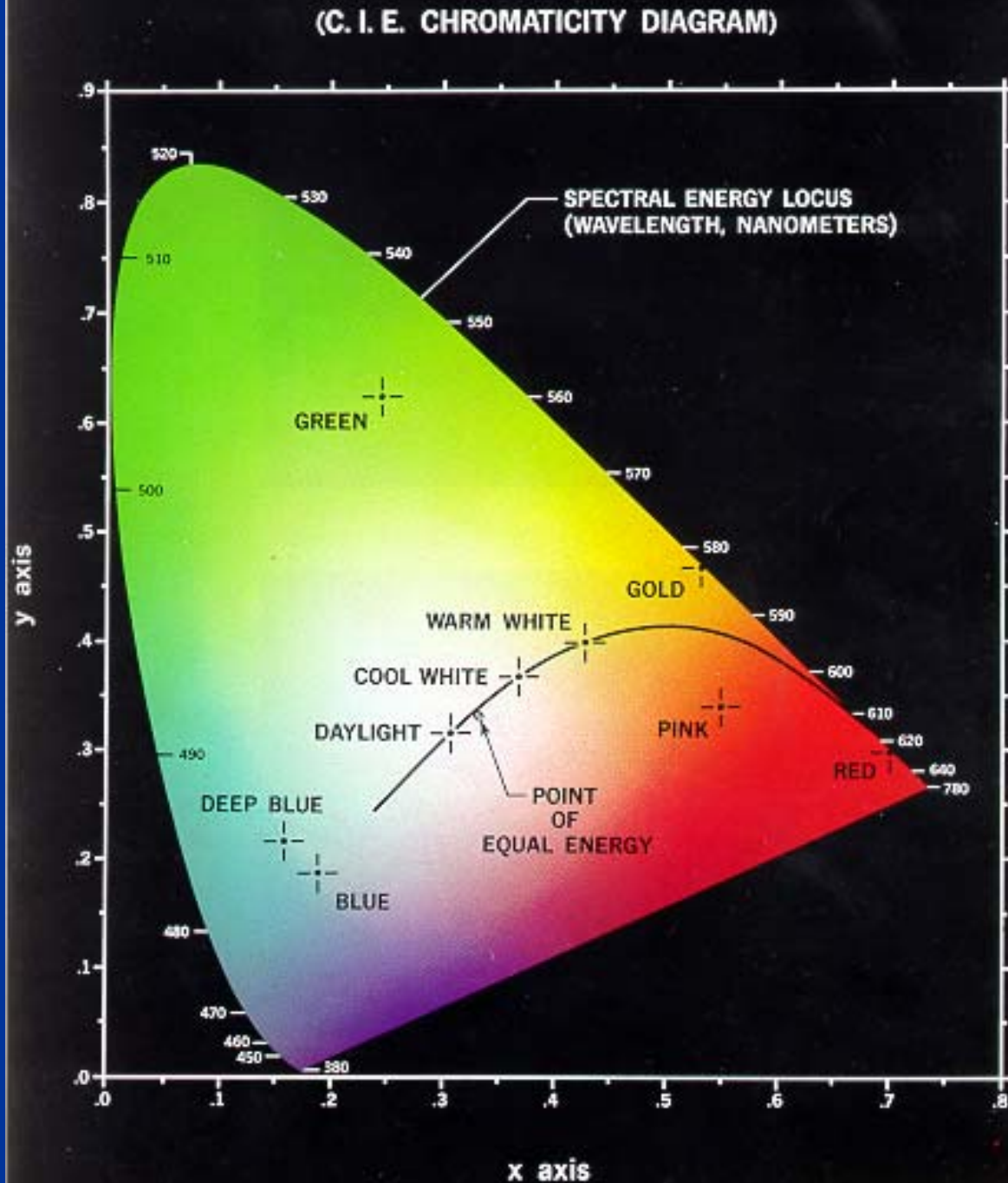
- Generación de colores a partir de combinación de los 3 primarios
- "*Color matching*" - persona compara luz de cierto color vs. combinación de luces en colores primarios (psico-fisiológico)



- Se realizó para todos los colores del espectro visible
- Ciertos colores no se lograban igualar!

Diagrama Cromático CIE

azul - 435.8 nm
verde - 541.6 nm
rojo - 700 nm



Coordenadas Cromáticas

- Se normalizan los valores de R,G,B de forma de que sumen 1:

$$r = R/(R + G + B)$$

$$g = G/(R + G + B)$$

$$b = B/(R + G + B)$$

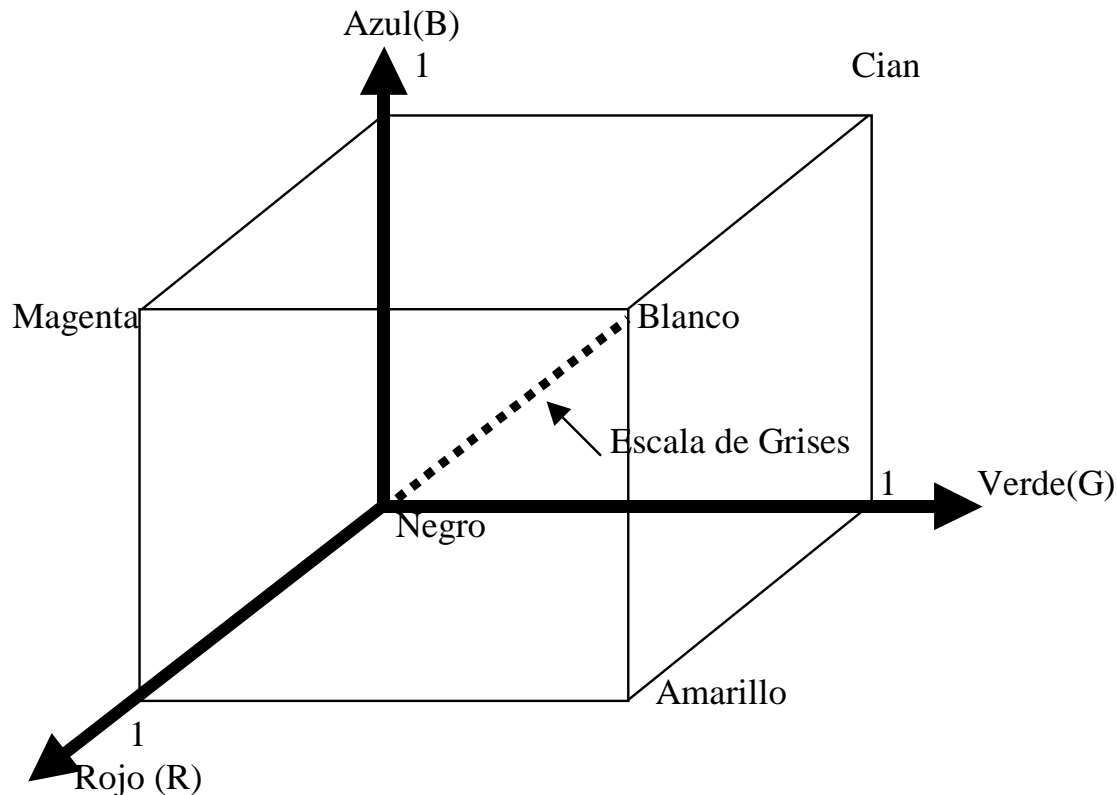
- De esta forma el espacio de colores lo podemos representar en dos dimensiones (por ejemplo, $r - g$)

Modelos de Color

- Diferentes formas de representar el color:
 - modelos sensoriales - orientados a los equipos
 - RGB, CMY, YIQ
 - modelos perceptuales - se asemejan a la percepción humana y se orientan al procesamiento de imágenes y visión
 - HSV, HLS, HSI

Modelo RGB

- Se basa en los componentes primarios: RGB
- Se puede representar como un "cubo" con un primario en cada eje



Modelo CMY

- Se basa en los componentes secundarios: Cian, Magenta y Amarillo (Y)
- Se puede obtener del RGB (normalizado) como:

$$\begin{array}{rcl} C & = & 1 - R \\ M & = & 1 - G \\ Y & = & 1 - B \end{array}$$

- En la práctica se agrega el negro (CMYK) para facilitar la impresión de negro

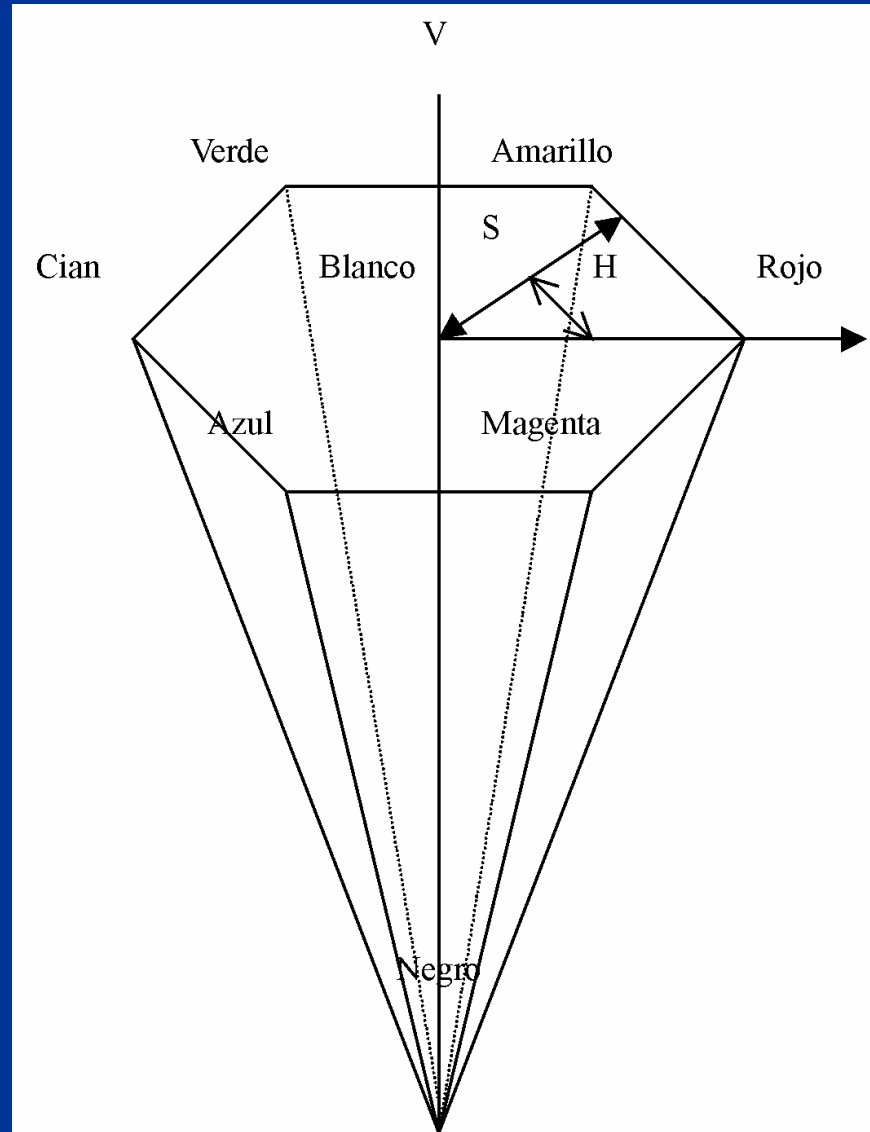
Modelo YIQ

- Separa la información de intensidad (Y) de la información de color (I,Q)
- Se obtiene mediante la siguiente transformación a partir del RGB:

$$\begin{array}{rcccl} Y & 0.299 & 0.587 & 0.114 & R \\ I = & 0.596 & -0.275 & -0.231 & G \\ Q & 0.212 & -0.523 & 0.311 & B \end{array}$$

Modelo HSV

- Modelo perceptual en que el color se representa en base a croma (H), saturación e intensidad o valor (V)
- Se obtiene "deformando" el cubo RGB de forma que se convierte en una pirámide hexagonal invertida



Conversión RGB a HSV

$$V = M$$

$$\text{Si } m=M \quad S=0 \quad \text{sino } S=(M-m)/M$$

$$\text{Si } m=B \quad H=120 (G-m)/(R+G-2m)$$

$$\text{Si } m=R \quad H=120 (B-m)/(B+G-2m)$$

$$\text{Si } m=G \quad H=120 (R-m)/(R+B-2m)$$

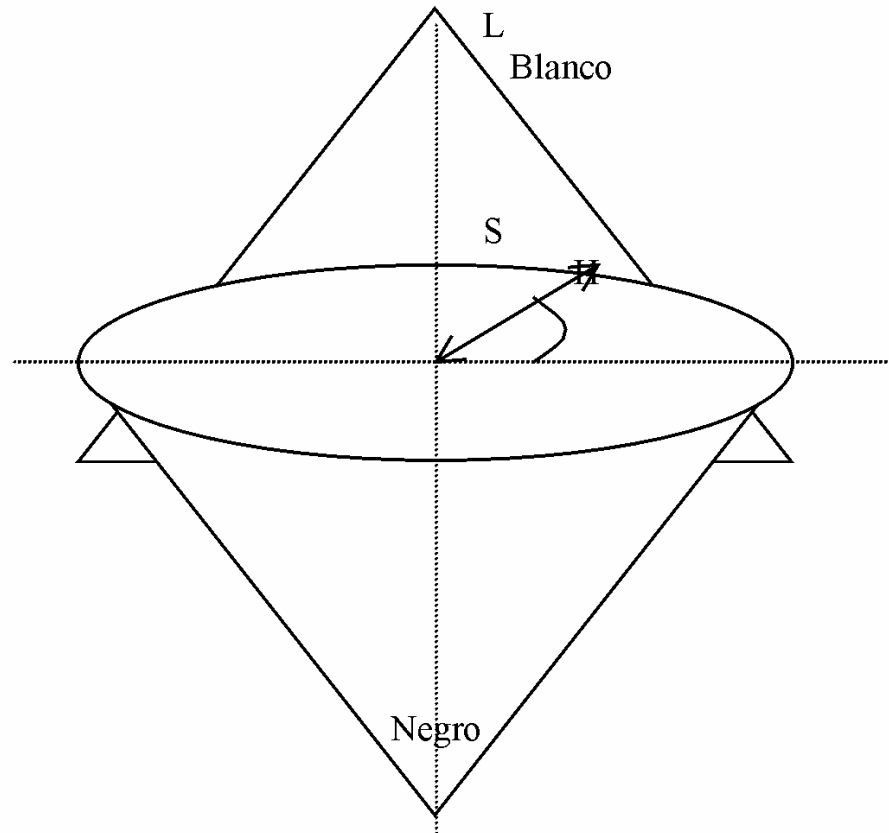
$$m = \min(R, G, B)$$

$$M = \max(R, G, B)$$

$$V, S: [0, 1] \quad H: [0 360]$$

Modelo HLS

- Modelo perceptual:
Hue, Level, Saturation
- Se basa en coordenadas polares en 3-D, obteniéndose un espacio en forma de 2 conos unidos en la base



Conversión RGB a HLS

$$L = (M + m)/2$$

$$S = (M + m)/(M - m), \text{ si } L < 0.5$$

$$S = (M - m)/(2 - M - m), \text{ si } L > 0.5$$

$$\text{Si } m=B \quad H=120 (G-m)/(R+G-2m)$$

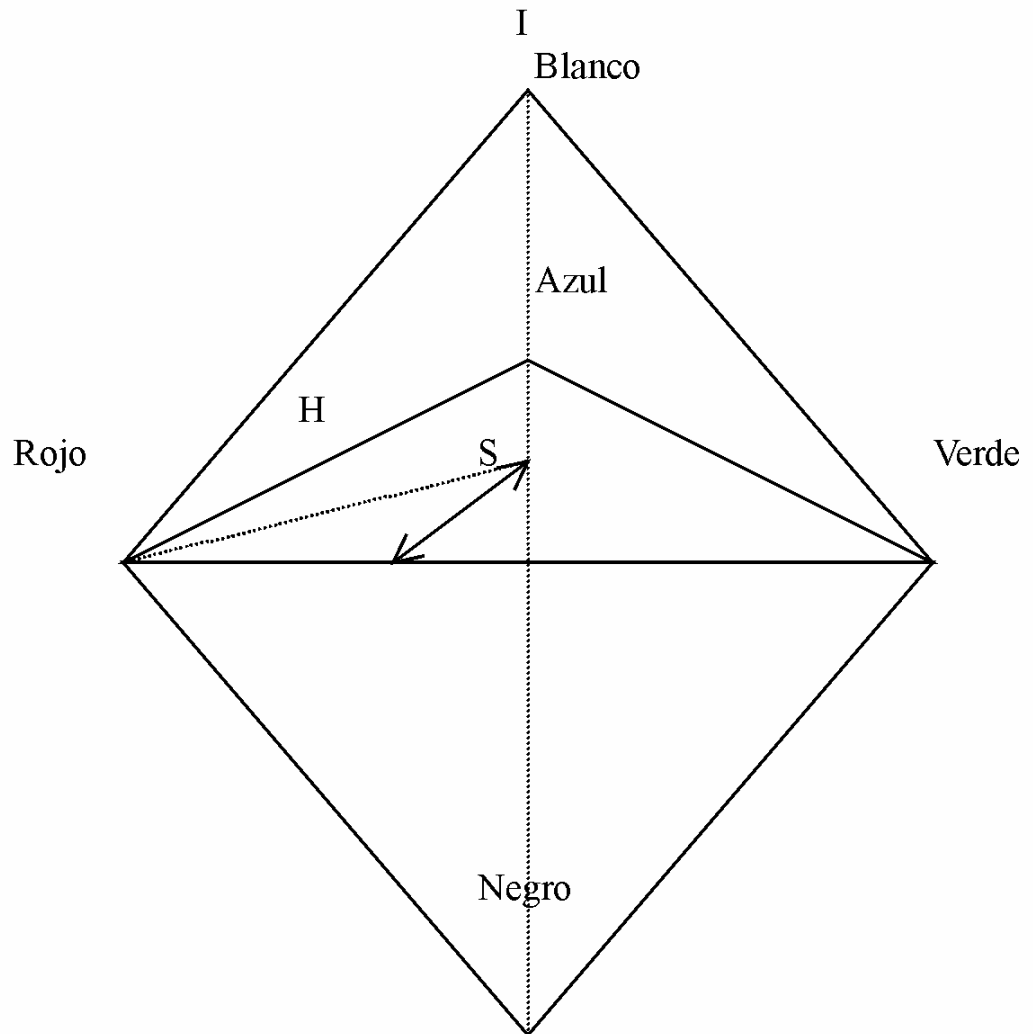
$$\text{Si } m=R \quad H=120 (B-m)/(B+G-2m)$$

$$\text{Si } m=G \quad H=120 (R-m)/(R+B-2m)$$

$$m = \min(R,G,B), \quad M = \max(R,G,B)$$

Modelo HSI

- Transformación del espacio RGB al espacio perceptual
- Forma de 2 pirámides triangulares unidas en su base



Conversión RGB a HSI

$$I = 1/3 (R + G + B)$$

$$S = 1 - 3m / (R + G + B)$$

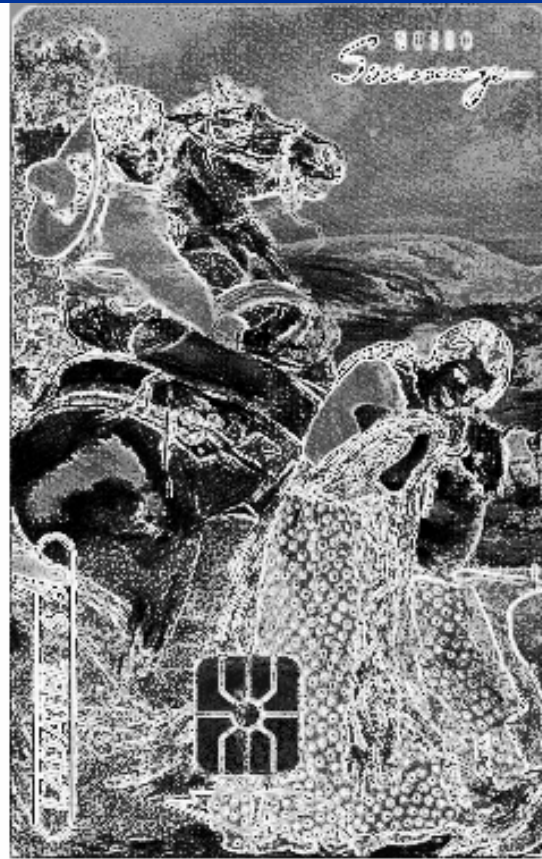
$$H = \cos^{-1} \left[\frac{\frac{1}{2} [(R - G) + (R - B)]}{[(R - G)^2 + (R - B)(G - B)]^{1/2}} \right]$$

$$m = \min(R, G, B)$$

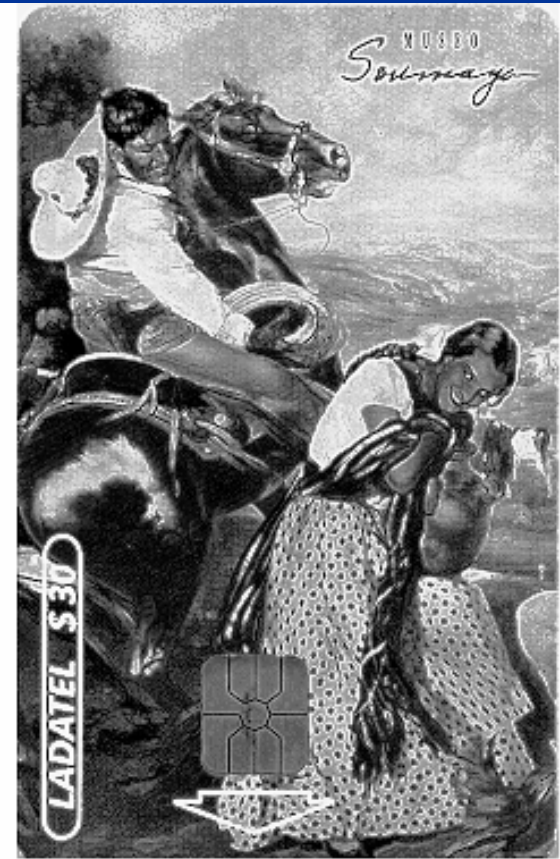
Ejemplo de Imagen en HSI



(a)



(b)



(c)

Textura

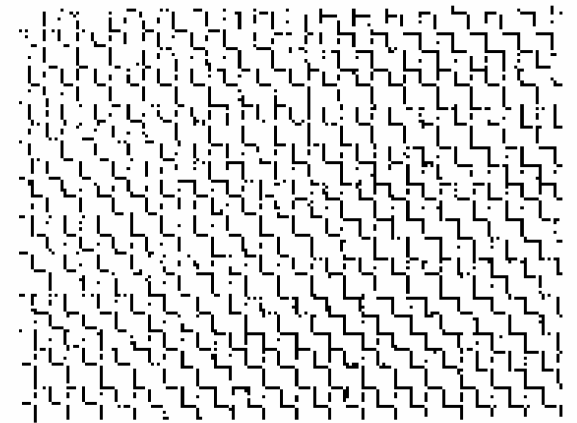
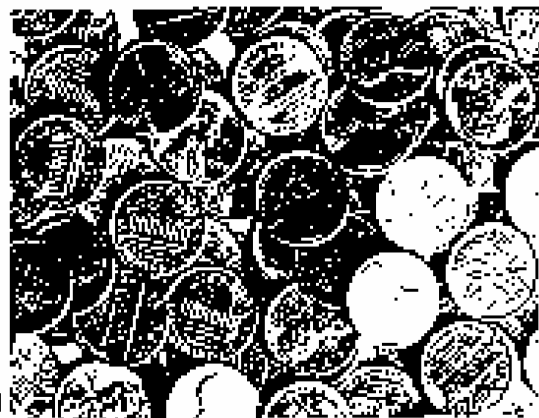
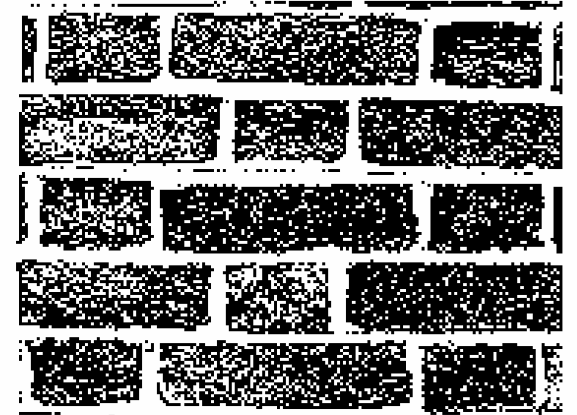
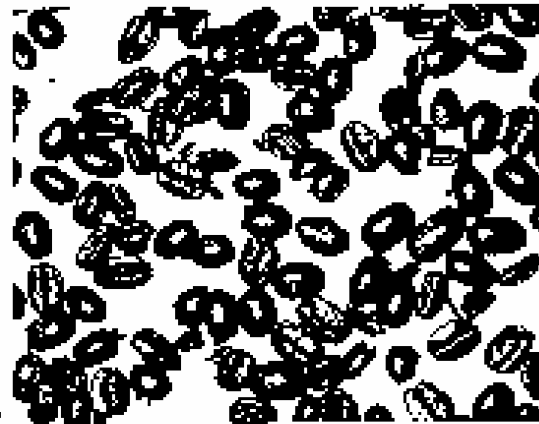
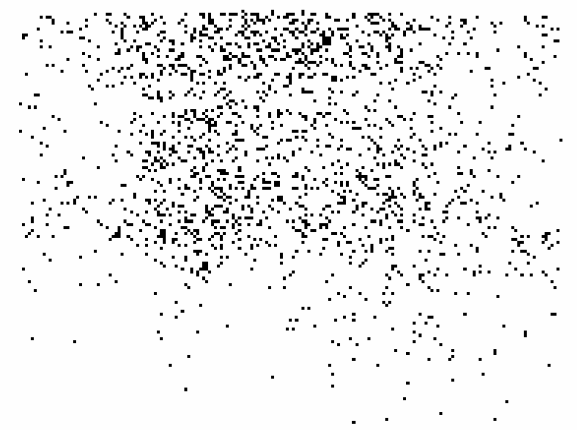
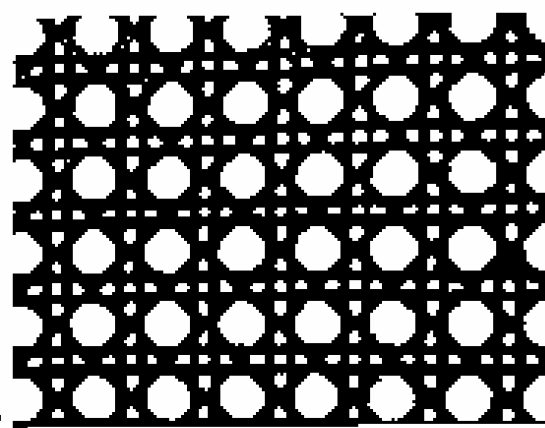
- Muchos objetos no son uniformes, tienen cierta "textura"

Textura:

"compuesta de pequeños elementos indistinguibles y entrelazados"

- La textura depende de la resolución
- La información de textura se puede usar para segmentación, reconocimiento de objetos y obtención de forma

Ejemplos de texturas



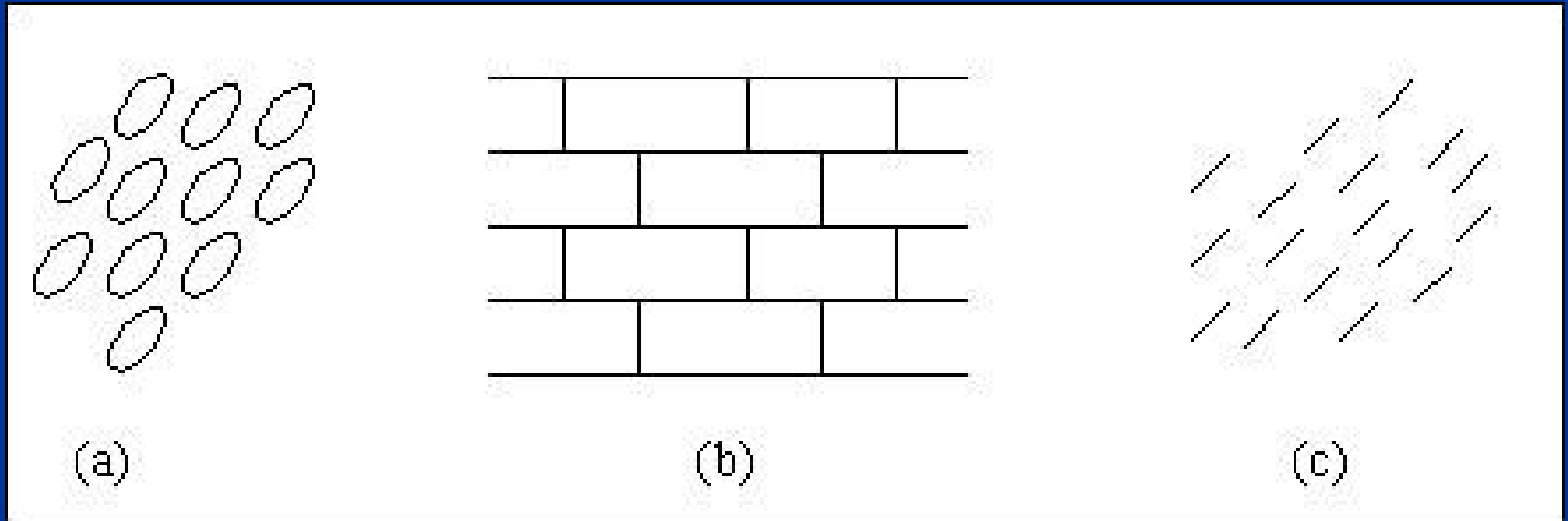
Descripción de texturas

- Existen diferentes formas de describir una textura:
 - Modelos estructurales
 - Modelos estadísticos
 - Modelos espectrales

Texels

- Elementos básicos o primitivas de textura
- *Texel*: "primitiva visual con propiedades invariantes que ocurre a diferentes posiciones, deformaciones y orientaciones en un área"
- Propiedades invariantes: *forma, tamaño, nivel de gris, color.*

Ejemplos de *texels*



Tipos de texturas

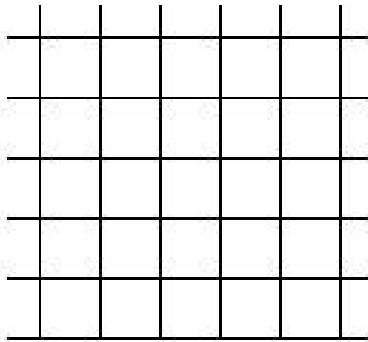
- Jerárquicas (ladrillos) vs. fractales (arbustos)
- Bidimensionales vs. tridimensionales
- Regulares vs. estadísticas

- Dependiendo del tipo de textura se aplican diferentes modelos para su descripción

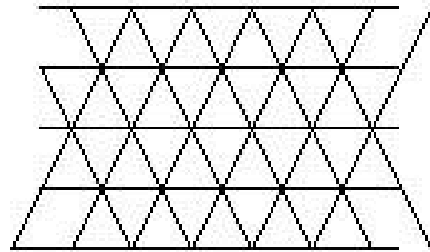
Modelos Estructurales

- Se aplican a texturas altamente regulares
- Se pueden describir en base a formas básicas que se repiten uniformemente
- Texturas básicas:
 - regulares
 - semi-regulares

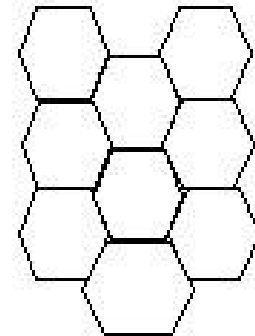
Texturas Regulares



(a)

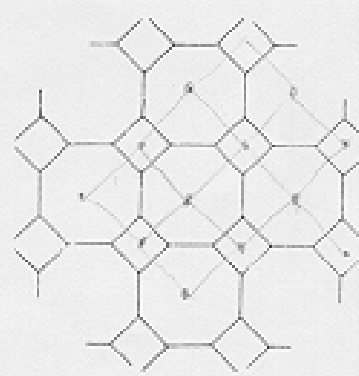


(b)

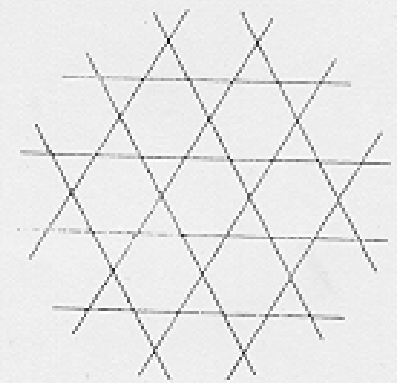


(c)

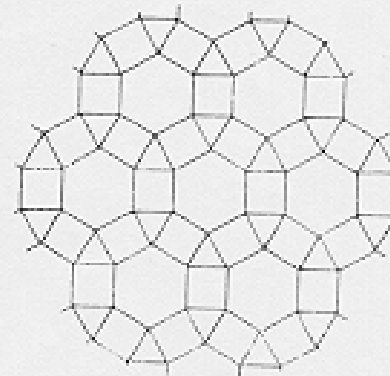
Texturas Semi-regulares



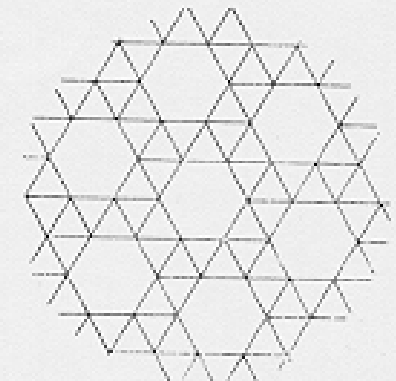
(4, 8, 8)



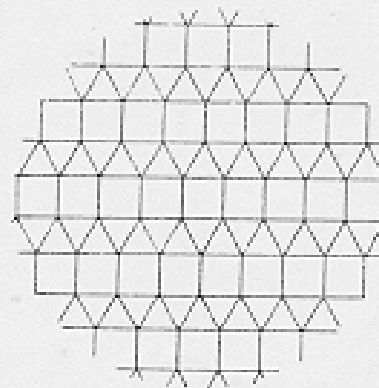
(3, 6, 3, 6)



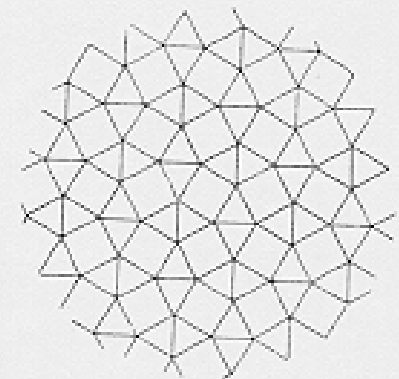
(3, 4, 6, 4)



(3, 3, 3, 3, 6)



(3, 3, 3, 4, 4)

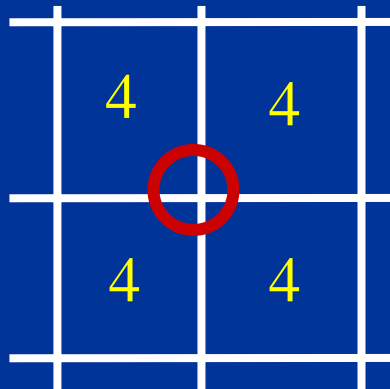
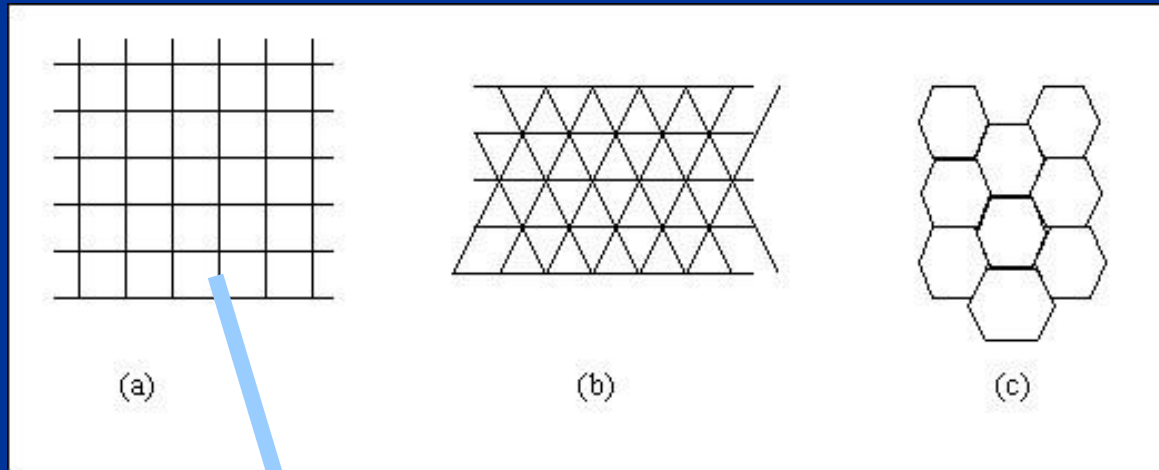


(3, 3, 4, 3, 4)

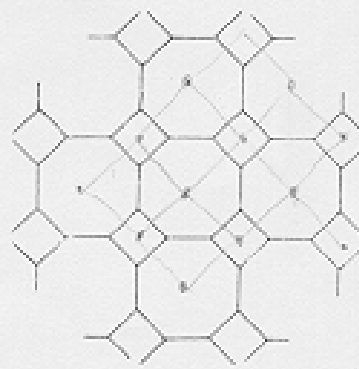
Descripción

- Código: secuencia de números donde c/u corresponde a el número de lados de los polígonos adyacentes a un vértice
- Ejemplos:
 - regular cuadrada: (4,4,4,4)
 - regular hexagonal: (6,6,6)
 - semi-regular triangular-hexagonal (3,6,3,6)

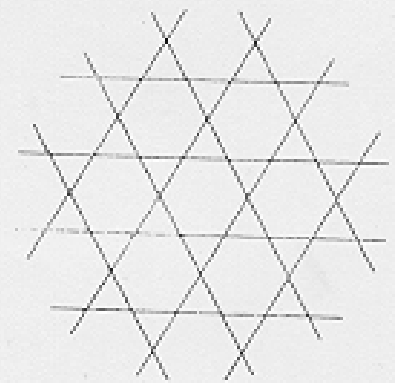
Códigos de texturas



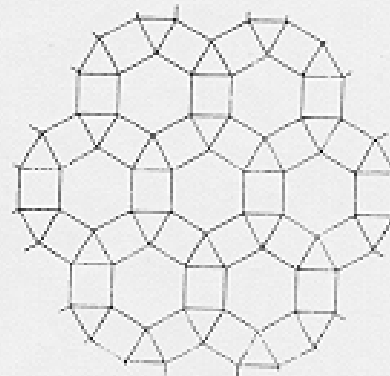
Códigos de texturas



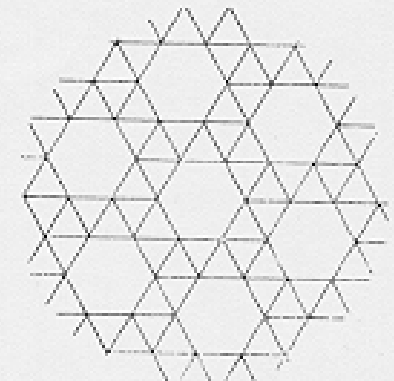
(4, 8, 8)



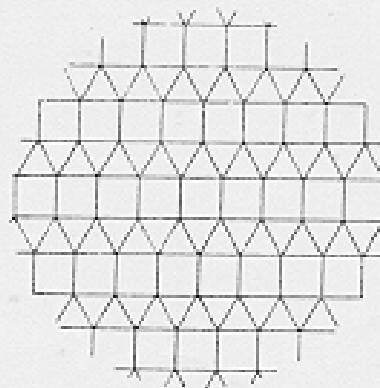
(3, 6, 3, 6)



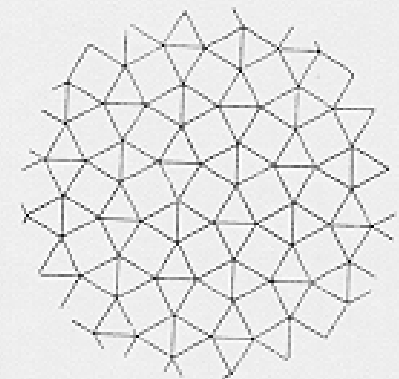
(3, 4, 6, 4)



(3, 3, 3, 3, 6)



(3, 3, 3, 4, 4)

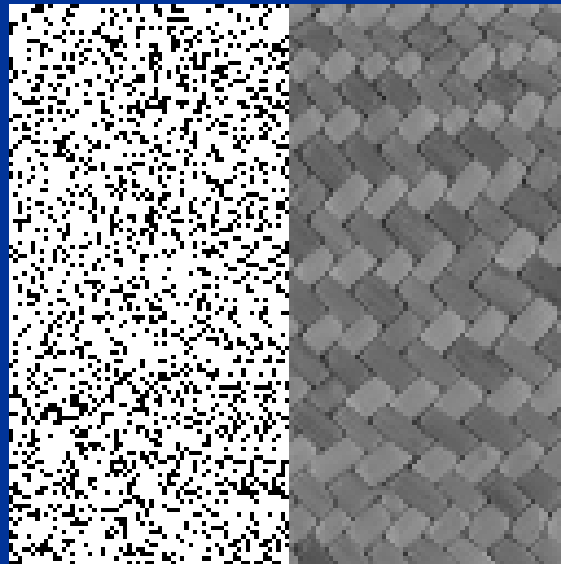
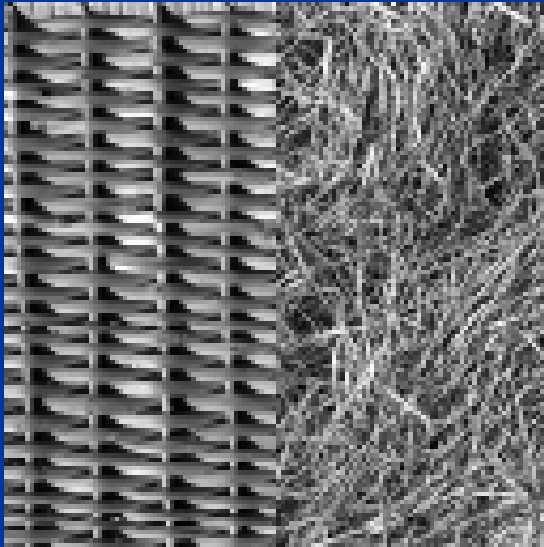


(3, 3, 4, 3, 4)

Modelos Estadísticos

- Texturas no-regulares
- Su descripción se basa en parámetros estadísticos como:
 - momentos
 - energía en el dominio espacial
 - matrices de dependencia espacial
 - transformada de Fourier (modelos espectrales)

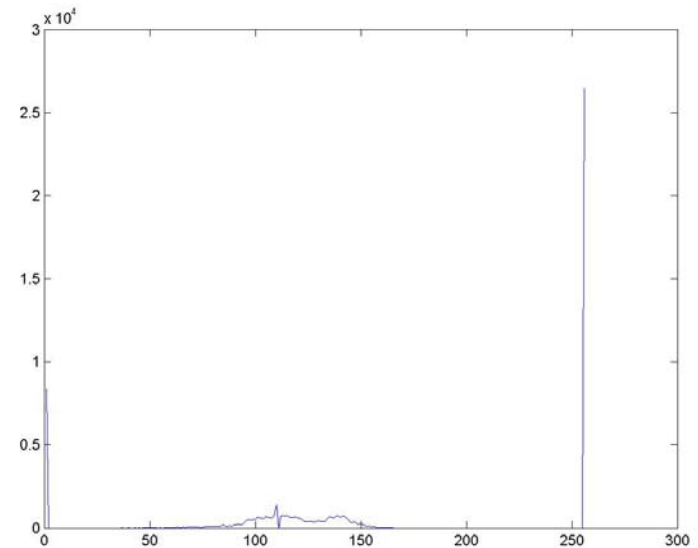
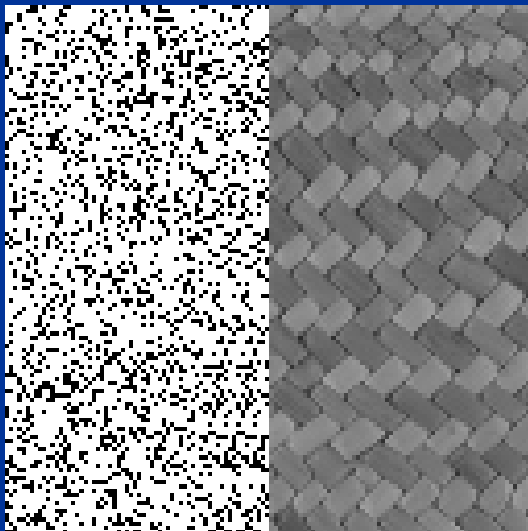
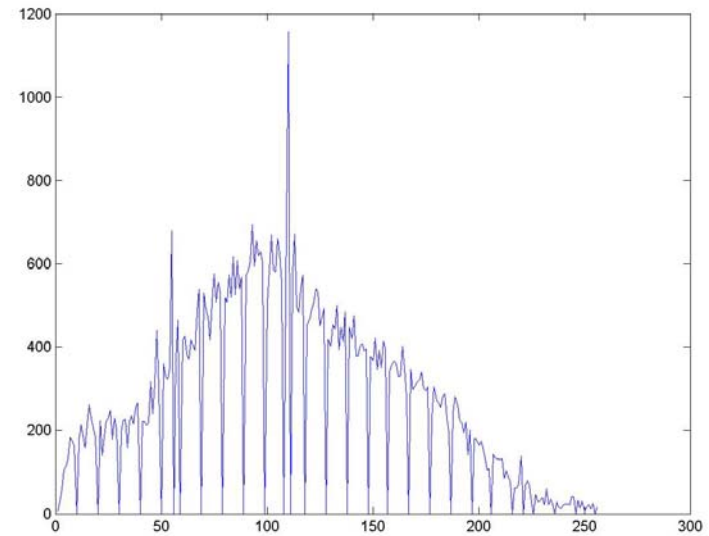
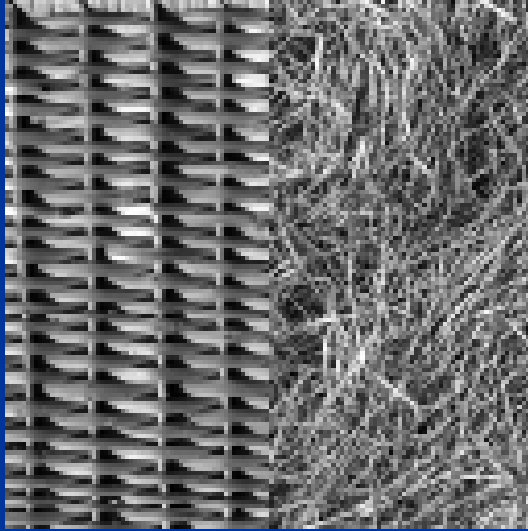
Ejemplos de texturas no regulares



Momentos

- Una forma de caracterizar una textura es obteniendo el histograma de niveles de gris
- Del histograma se pueden calcular ciertos parámetros que lo caracterizan - una posibilidad es calcular sus *momentos*

Ejemplos de Histogramas



Momentos

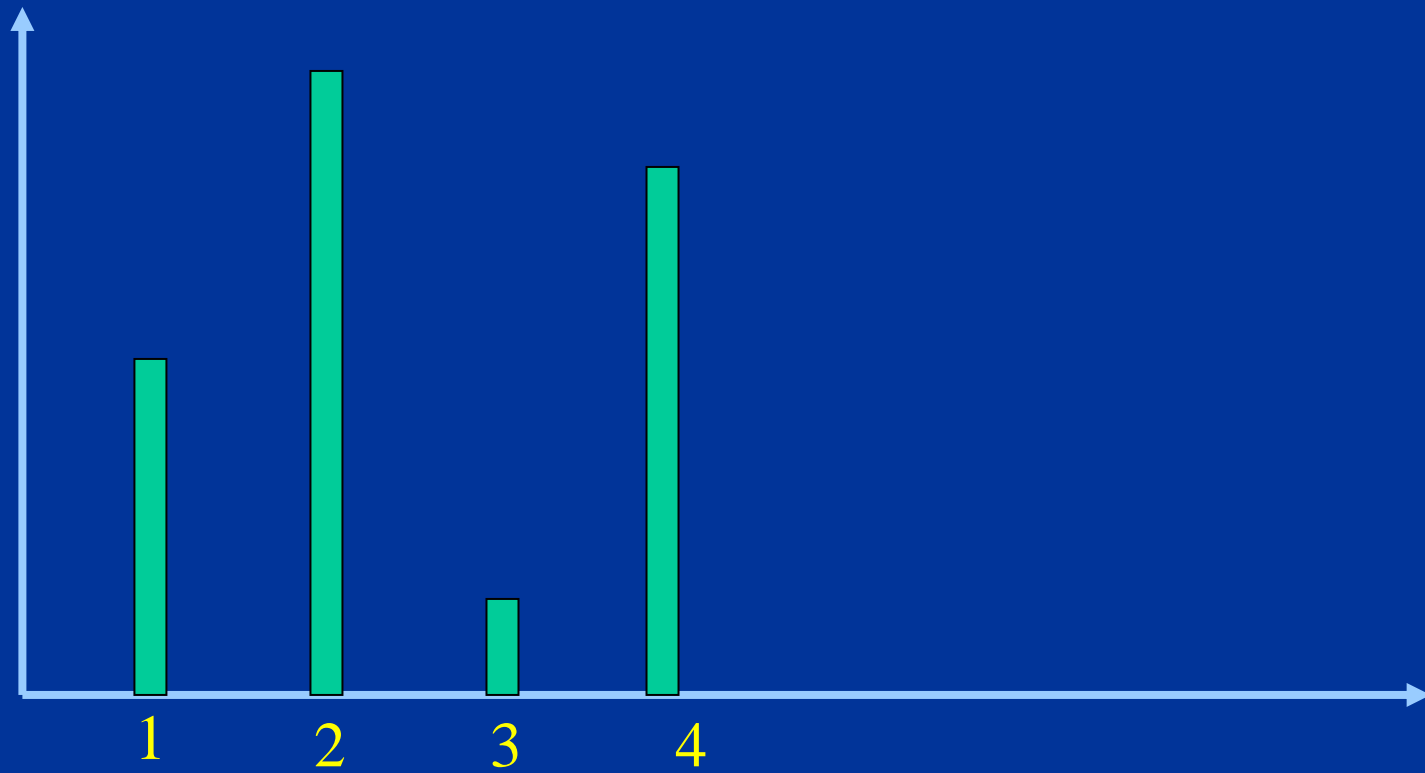
- primero (promedio): $m(z) = \sum z_i P(z_i)$
- segundo (desviación): $\sigma^2(z) = \sum (z_i - m)^2 P(z_i)$
- tercero (desplazamiento): $u_3(z) = \sum (z_i - m)^3 P(z_i)$
- cuarto (uniformidad): $u_4(z) = \sum (z_i - m)^4 P(z_i)$
- “n-ésimo”: $u_n(z) = \sum (z_i - m)^n P(z_i)$

Medida de uniformidad

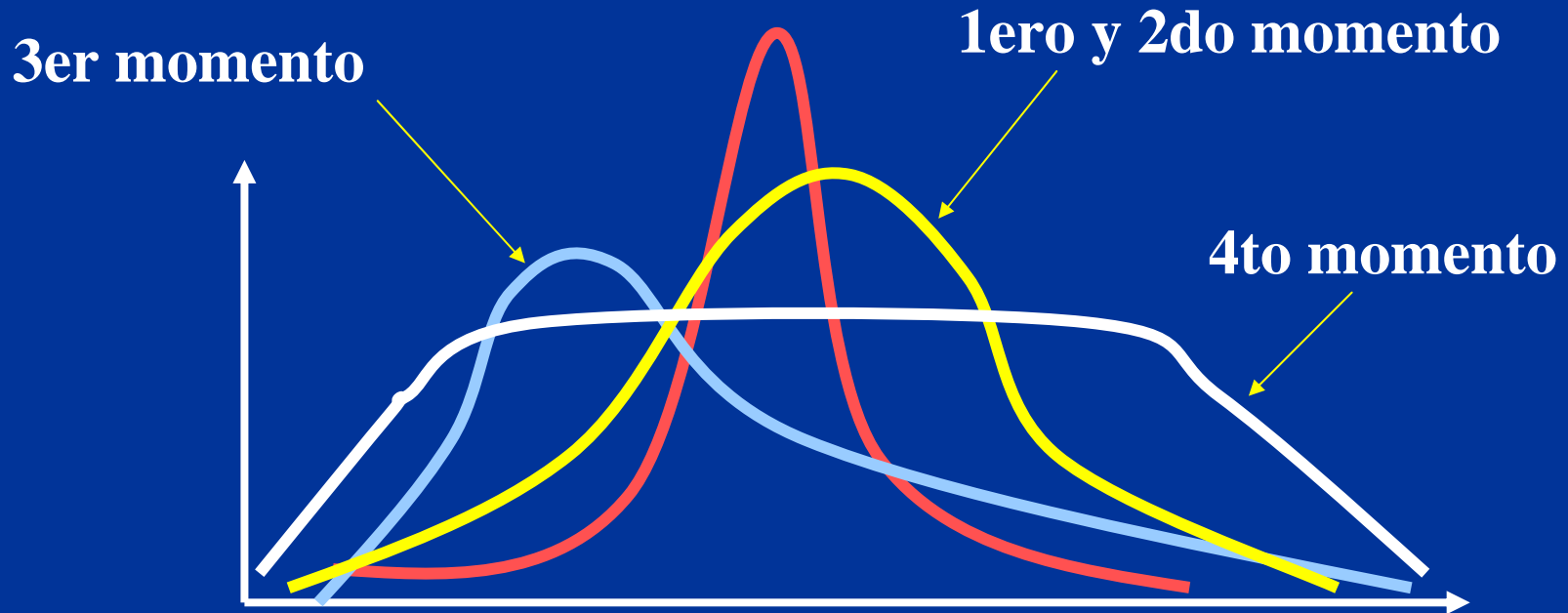
$$R = 1 - [1 / (1 + \sigma^2(z))]$$

- $R = 0 \rightarrow$ uniforme
- $R \rightarrow 1 \rightarrow$ alta varianza

Histograma



Momentos



Vector de Características

- Los “n” momentos se pueden agrupar en un vector de características (*feature vector*):

$$V = (v_1, v_2, \dots, v_n)$$

- Este vector da una representación compacta de la textura correspondiente

Otras formas de obtener características:

- Energía en el dominio espacial
- Matrices de dependencia espacial
- Modelos Espectrales

Energía en el dominio espacial

- Se hace una transformación de la imagen mediante diferentes máscaras
- Se calculan características de cada pixel que dependen de la textura en una región local
- Se clasifica cada pixel de acuerdo a su tipo de textura

Energía en el dominio espacial

- Procedimiento:
 - Ecuación por histograma
 - Convolución con 12 máscaras diferentes (funciones base)
 - Obtención del promedio absoluto de una ventana de 15×15
 - Clasificación de cada pixel de acuerdo al vecino más cercano

Matrices de dependencia espacial

- Consiste en obtener unas matrices intermedias a partir de la imagen
- Se obtienen características (similares a los momentos) de dichas matrices
- Estas características se utilizan para clasificar a las texturas

Matrices de dependencia espacial

- Procedimiento:
 - Obtener las matrices $S(d,t)$ para diferentes distancias (d) y orientaciones (t)
 - Cada elemento $s(i,j)$ de las matriz es el número de veces que un pixel de valor i tiene una relación (d,t) con otro pixel de valor j
 - Normalizar cada matriz S

Matrices de dependencia espacial

– Obtener características de cada matriz:

- energía: $\sum_i \sum_j P_{ij}^2$
- entropía: $\sum_i \sum_j P_{ij} \log P_{ij}$
- correlación: $\sum_i \sum_j (1 - m_x)(1 - m_y) P_{ij}$
- inercia: $\sum_i \sum_j (i - j)^2 P_{ij}$
- homogeneidad local: $\sum_i \sum_j (1 / [1 + (i - j)^2]) P_{ij}$

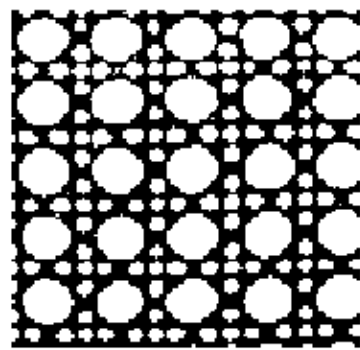
Modelos Espectrales

- Muchas texturas presentan patrones periódicos - por ello la transformada de Fourier es adecuada para describirlas
- Estos modelos consisten en obtener la transformada en frecuencia de la imagen y a partir de esta obtener ciertas características
- Dichas características sirven de base para la clasificación

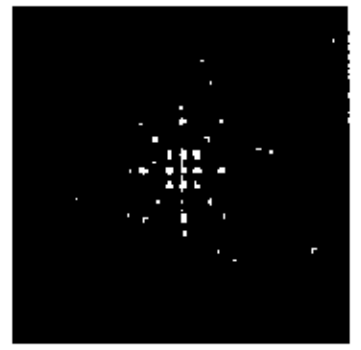
Modelos Espectrales

- Características:
 - magnitud de “picos” prominentes en frecuencia
 - localización de los “picos”
 - aplicar técnicas estadísticas a partes aperiódicas
- Estas características son más fáciles de obtener del espectro en coordenadas polares

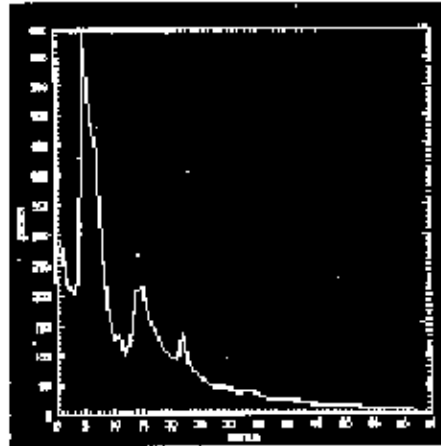
Ejemplos de espectros



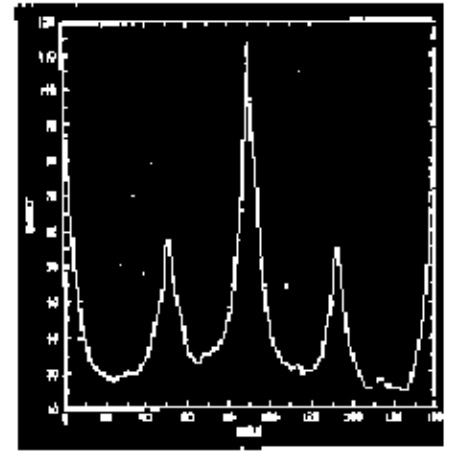
(a)



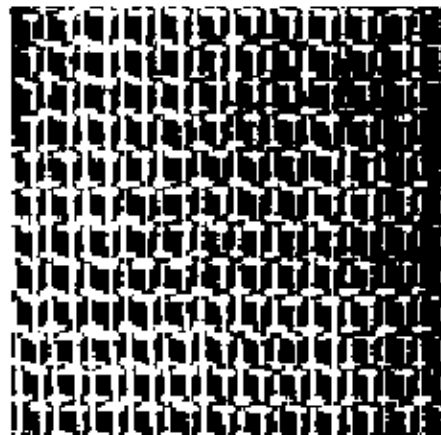
(b)



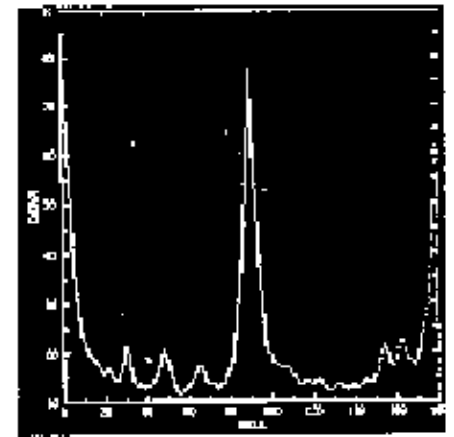
(c)



(d)



(e)



(f)

Referencias

- Sucar & Gómez: Cap. 3, 4, 5
- Forsyth & Ponce: Cap. 6, 8, 9